

УДК 622.647.82:51.001.57

Р.В. Кирия

## МАТЕМАТИЧЕСКАЯ МОДЕЛЬ ФУНКЦИОНИРОВАНИЯ АККУМУЛИРУЮЩЕГО БУНКЕРА КОНВЕЙЕРНЫХ ЛИНИЙ УГОЛЬНЫХ ШАХТ

*На основе теории марковских процессов с помощью метода Ховарда получена математическая модель функционирования аккумулирующего бункера, работающего в системе подземного конвейерного транспорта угольных шахт. Определено среднее количество груза в бункере в зависимости от параметров загружаемого и разгружаемого грузопотоков для различных состояний надбункерной и подбункерной конвейерных линий.*

**АККУМУЛИРУЮЩИЙ БУНКЕР, МАТЕМАТИЧЕСКАЯ МОДЕЛЬ,  
ФУНКЦИОНИРОВАНИЕ, ЛЕНТОЧНЫЙ КОНВЕЙЕР УГОЛЬНОЙ ШАХТЫ.**

В настоящее время широкое распространение в системах подземного конвейерного транспорта угольных шахт получили аккумулирующие бункеры.

Аккумулирующие бункеры предназначены для обеспечения независимой работы смежных технологических звеньев транспорта в периоды их кратковременных отказов в работе или остановок по той или иной причине, а также для уменьшения влияния простоев конвейерных линий на работу очистных и подготовительных забоев.

Применение аккумулирующих бункеров в системах подземного конвейерного транспорта позволяет значительно повысить пропускную способность и надежность их работы.

Для эффективной работы аккумулирующих бункеров в системе подземного конвейерного транспорта угольных шахт в бункере необходимо поддерживать некоторый объем груза. Причем величина этого объема зависит от места расположения бункера в системе конвейерного транспорта.

Однако эффективность функционирования аккумулирующих бункеров на угольных шахтах невысокая из-за недостаточной автоматизации процесса его управления.

Одним из путей повышения эффективности процесса управления аккумулирующими бункерами угольных шахт является применение

компьютерных технологий на основе контроллеров (промышленных компьютеров). Но для управления аккумулирующими бункерами на основе контроллеров необходимо моделировать процессы, происходящие в аккумулирующем бункере при его работе в системе подземного конвейерного транспорта угольных шахт.

При математическом моделировании функционирования аккумулирующих бункеров загружаемый в бункер грузопоток можно представить в виде прямоугольных импульсов с высотой, равной средней минутной производительности загружаемого грузопотока, и интервалов его отсутствия, распределенных по экспоненциальному закону (рис. 1).

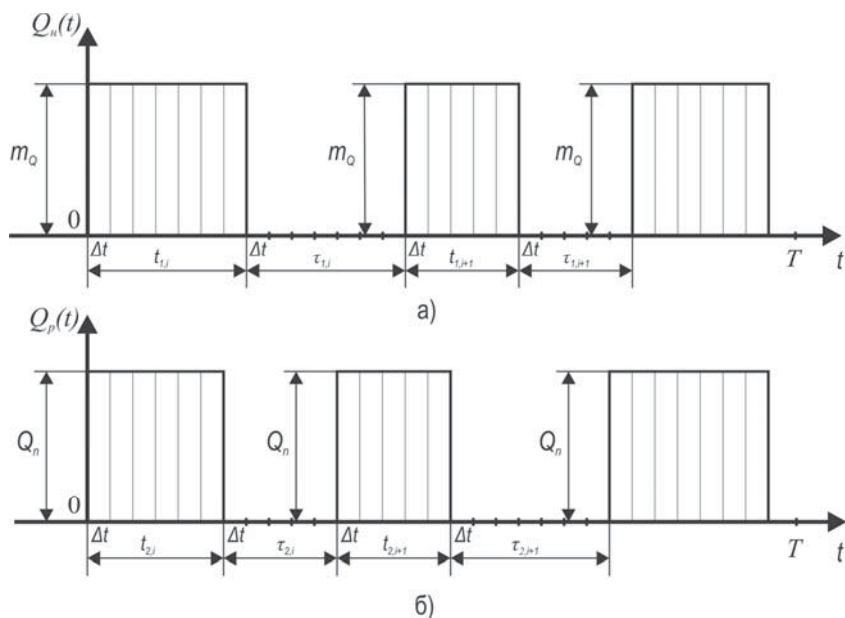


Рис. 1. Графики поступающего в аккумулирующий бункер грузопотока (а) и выходящего из аккумулирующего бункера грузопотока (б)

При этом, согласно [1,2], интервалы работы  $t$  и простоя  $\tau$  конвейерного оборудования распределены по экспоненциальному закону с плотностью распределения

$$f(t) = \lambda \exp(-\lambda t), \\ f(\tau) = \mu \exp(-\mu \tau),$$

где  $\lambda = 1/T_{cp}$  – параметр распределения времени поступления груза в бункер, 1/мин;  $T_{cp}$  – среднее время поступления груза в бункер, равное среднему времени работы конвейерной линии, мин;  $\mu = 1/T_{cn}$  – параметр распределения времени отсутствия груза, 1/мин;  $T_{sp}$  –

среднее время отсутствия поступления груза в бункер, равное среднему времени простоя конвейерной линии.

Предположим, что при поступлении груза в бункер средняя производительность надбункерной конвейерной линии постоянна и равна  $m_{Q1}$ , а в месте разгрузки бункера средняя производительность питателя постоянна и равна  $m_{Q2}$ . Тогда грузопоток, поступающий в бункер, согласно [3,4], описывается случайной функцией  $\zeta_1$  с математическим ожиданием, дисперсией и корреляционной функцией, равными

$$\begin{aligned} M[\zeta_1] &= m_{Q1} \cdot \frac{\mu_1}{\lambda_1 + \mu_1}, & D[\zeta_1] &= m_{Q1}^2 \cdot \frac{\lambda_1 \mu_1}{(\lambda_1 + \mu_1)^2}, \\ R_{Q1}(\tau) &= m_{Q1}^2 \frac{\lambda_1 \mu_1}{(\lambda_1 + \mu_1)^2} \cdot e^{-(\mu_1 + \lambda_1)\tau} \end{aligned} \quad (1)$$

где  $\lambda_1$ ,  $\mu_1$  – параметры экспоненциального закона распределения времени работы и времени простоя надбункерной конвейерной линии, соответственно, 1/мин.

По аналогии с предыдущим, разгружаемый из бункера грузопоток описывается случайной функцией  $\zeta_2$  с математическим ожиданием, дисперсией и корреляционной функцией, равными

$$\begin{aligned} M[\zeta_2] &= m_{Q2} \cdot \frac{\mu_2}{\lambda_2 + \mu_2}, & D[\zeta_2] &= m_{Q2}^2 \cdot \frac{\lambda_2 \mu_2}{(\lambda_2 + \mu_2)^2}, \\ R_{Q2}(\tau) &= m_{Q2}^2 \frac{\lambda_2 \mu_2}{(\lambda_2 + \mu_2)^2} \cdot e^{-(\mu_2 + \lambda_2)\tau} \end{aligned} \quad (2)$$

где  $\lambda_2$ ,  $\mu_2$  – параметры экспоненциального закона распределения времени работы и времени простоя подбункерной конвейерной линии, соответственно, 1/мин.

При этом вероятности работы надбункерной и подбункерной конвейерных линий равны

$$P_1 = \frac{\mu_1}{\lambda_1 + \mu_1}, \quad P_2 = \frac{\mu_2}{\lambda_2 + \mu_2}. \quad (3)$$

Обозначим через  $V_\sigma$  количество груза, находящегося в данный момент  $t$  в бункере.

Рассмотрим вначале случай, когда  $m_{Q1} > m_{Q2}$ . Величина  $V_\sigma$  является случайной функцией, которая определяется согласно корреляционной теории [5] по формуле

$$V_\sigma = \int_0^t (\zeta_1 - \zeta_2) dt \quad (4)$$

или

$$V_\sigma = \int_0^t \zeta_1 dt - \int_0^t \zeta_2 dt . \quad (5)$$

При больших  $m_{Q1}$ , на много больших  $m_{Q2}$  ( $m_{Q1} \gg m_{Q2}$ ), согласно закону больших чисел [1], случайная функция  $V_\sigma$  распределена по нормальному закону, ее математическое ожидание и дисперсия равны

$$M[V_\sigma] = \int_0^t M[\zeta_1] dt - \int_0^t M[\zeta_2] dt , \quad (6)$$

$$D_V = D_{V1} + D_{V2} , \quad (7)$$

где

$$D_{V1} = 2 \int_0^t (t - \tau) R_{Q1}(\tau) d\tau ; \quad D_{V2} = 2 \int_0^t (t - \tau) R_{Q2}(\tau) d\tau .$$

Подставляем значения  $M[\zeta_1]$ ,  $M[\zeta_2]$ ,  $R_{Q1}(\tau)$ ,  $R_{Q2}(\tau)$ , определенные по формулам (1) и (2), в (6) и (7), после интегрирования получим

$$M[V_\sigma] = (P_1 \cdot m_{Q1} - P_2 \cdot m_{Q2}) \cdot t , \quad (8)$$

$$D_{V1} = \frac{2\mu_1\lambda_1}{(\lambda_1 + \mu_1)} m_{Q1}^2 \left[ \frac{e^{-(\lambda_1 + \mu_1)t}}{(\lambda_1 + \mu_1)} + \frac{t}{\lambda_1 + \mu_1} - \frac{1}{(\lambda_1 + \mu_1)^2} \right] , \quad (9)$$

$$D_{V2} = \frac{2\mu_2\lambda_2}{(\lambda_2 + \mu_2)} m_{Q2}^2 \left[ \frac{e^{-(\lambda_2 + \mu_2)t}}{(\lambda_2 + \mu_2)} + \frac{t}{\lambda_2 + \mu_2} - \frac{1}{(\lambda_2 + \mu_2)^2} \right] . \quad (10)$$

Среднее квадратическое отклонение функции  $V_\sigma$  определяется по формуле

$$\sigma_V = \sqrt{D_{V1} + D_{V2}} . \quad (11)$$

Полученные соотношения (8)–(11), описывающие процесс функционирования аккумулирующих бункеров, справедливы при  $m_{Q1} > m_{Q2}$ . Однако при  $m_{Q1} \leq m_{Q2}$  эти соотношения не справедливы.

При  $m_{Q1} \leq m_{Q2}$  процесс накопления угля в бункере можно описать уравнением Колмогорова, справедливым для двухфазных марковских процессов [2].

Решение этих уравнений связано с большими математическими трудностями, поэтому для исследования процессов, происходящих в аккумулирующих бункерах, применим метод Ховарда, справедливый для марковских процессов с доходами [6].

Рассмотрим процесс накопления груза в бункере как марковский процесс с непрерывным временем и четырьмя состояниями.

В первом состоянии этого процесса надбункерная и подбункерная конвейерные линии работают. В этом случае в аккумулирующий бункер в единицу времени поступает количество груза  $m_Q$  и убывает из него количество груза  $Q_n$ . Следовательно в этом состоянии количество груза в бункере в единицу времени увеличивается на величину  $q_1 = (m_Q - Q_n)/\gamma$  ( $\text{м}^3$ ).

Во втором состоянии надбункерная конвейерная линия приставляет, подбункерная конвейерная линия работает. В этом случае количество груза в бункере в единицу времени увеличивается на величину  $q_2 = -Q_n/\gamma$  ( $\text{м}^3$ ).

В третьем состоянии надбункерная конвейерная линия работает, а подбункерная конвейерная линия приставляет. В этом случае в аккумулирующем бункере в единицу времени количество груза увеличивается на величину  $q_3 = m_Q/\gamma$  ( $\text{м}^3$ ).

В четвертом состоянии одновременно приставляют надбункерная и подбункерная конвейерные линии. В этом случае в аккумулирующем бункере количество груза в единицу времени не изменяется, т.е.  $q_4 = 0$ .

Полагая, что параметры потоков отказов и восстановлений надбункерной и подбункерной конвейерных линий равны соответственно  $\lambda_1, \mu_1$  и  $\lambda_2, \mu_2$ , систему уравнений доходов Ховарда [6] запишем в виде

$$\begin{cases} \frac{dV_1}{dt} = q_1 - (\lambda_1 + \lambda_2)V_1 + \lambda_1 V_2 + \lambda_2 V_3, \\ \frac{dV_2}{dt} = q_2 + \mu_1 V_1 - (\lambda_2 + \mu_1)V_2 + \lambda_2 V_4, \\ \frac{dV_3}{dt} = q_3 + \mu_2 V_1 - (\lambda_1 + \mu_2)V_3 + \lambda_1 V_4, \\ \frac{dV_4}{dt} = q_4 + \mu_2 V_2 + \mu_2 V_3 - (\mu_1 + \mu_2)V_4, \end{cases} \quad (12)$$

где  $V_1, V_2, V_3, V_4$  – объемы груза в бункере в начальный момент времени  $t$ , соответствующие первому, второму, третьему и четвертому состояниям процесса накопления груза в бункере,  $\text{м}^3$ .

При этом начальные условия имеют вид:  
при  $t = 0 V_1 = V_2 = V_3 = V_4 = 0$ .

Решение системы уравнений (12) в общем случае связано с большими математическими трудностями.

Поэтому упростим задачу, воспользуясь тем, что простой одновременно надбункерного и подбункерного конвейеров является маловероятным событием.

В этом случае система уравнений Ховарда (12) примет вид:

$$\begin{cases} \frac{dV_1}{dt} = q_1 - (\lambda_1 + \lambda_2)V_1 + \lambda_1 V_2 + \lambda_2 V_3, \\ \frac{dV_2}{dt} = q_2 + \mu_1 V_1 - \mu_1 V_2, \\ \frac{dV_3}{dt} = q_3 + \mu_2 V_1 - \mu_2 V_3. \end{cases} \quad (13)$$

При этом выполняются начальные условия: при  $t = 0$   $V_1 = V_2 = V_3 = 0$ .

Запишем систему уравнений (13) в матричной форме:

$$\frac{d\bar{V}}{dt} = \bar{Q} + \bar{A} \cdot \bar{V}, \quad (14)$$

где

$$\bar{V} = \begin{vmatrix} V_1 \\ V_2 \\ V_3 \end{vmatrix}; \quad \bar{Q} = \begin{vmatrix} q_1 \\ q_2 \\ q_3 \end{vmatrix}; \quad (15)$$

$$\bar{A} = \begin{vmatrix} -(\lambda_1 + \lambda_2) & \lambda_1 & \lambda_2 \\ \mu_1 & -\mu_1 & 0 \\ \mu_2 & 0 & -\mu_2 \end{vmatrix}. \quad (16)$$

Для решения (13) применим преобразование Лапласа [7]. С учетом начальных условий получим решение уравнения (14) в изображениях в матричном виде:

$$\bar{V}(s) = \frac{1}{s} (s\bar{I} - \bar{A})^{-1} \bar{Q}, \quad (17)$$

где  $\bar{I}$  – единичная матрица;  $s$  – параметр преобразований Лапласа.

Подставляя значения  $\bar{Q}$  и  $\bar{A}$  из (15) и (16) в (17), после преобразования получим

$$\begin{cases} \bar{V}_1(s) = \frac{(s + \mu_1)(s + \mu_2)}{\Delta} q_1 + \frac{\lambda_1(s + \mu_2)}{\Delta} q_2 + \frac{\lambda_2(s + \mu_1)}{\Delta} q_3, \\ \bar{V}_2(s) = \frac{\mu_1(s + \mu_2)}{\Delta} q_1 + \frac{(s + \lambda_1 + \lambda_2)(s + \mu_2) - \lambda_2 \mu_2}{\Delta} q_2 + \frac{\lambda_2 \mu_1}{\Delta} q_3, \\ \bar{V}_3(s) = \frac{\mu_2(s + \mu_1)}{\Delta} q_1 + \frac{\lambda_1 \mu_2}{\Delta} q_2 + \frac{(s + \lambda_1 + \lambda_2)(s + \mu_1) - \lambda_1 \mu_1}{\Delta} q_3, \end{cases} \quad (18)$$

где  $\bar{V}_1(s), \bar{V}_2(s), \bar{V}_3(s)$  – изображения функций  $V_1(t), V_2(t), V_3(t)$ ;

$$\Delta = s^2(s + \lambda_1 + \mu_1)(s + \lambda_2 + \mu_2).$$

Произведя обратные преобразования Лапласа к левым и правым частям выражения (18), получим решение системы уравнений (13) в виде:

$$\begin{aligned} V_1(t) = & (\mu_1\mu_2q_1 + \lambda_1\mu_2q_2 + \lambda_2\mu_1q_3)a_0t + \\ & + \left\{ [\mu_1\mu_2b_0 + (\mu_1 + \mu_2)a_1]q_1 + (\lambda_1\mu_2b_0 + \lambda_1a_1)q_2 + (\lambda_2\mu_1b_0 + \lambda_2a_1)q_3 \right\} + \\ & + \left\{ \left[ \mu_1\mu_2c_0 + (\mu_1 + \mu_2)b_1 - \frac{1}{\lambda_1 + \mu_1 - \lambda_2 - \mu_2} \right] q_1 + (\lambda_1\mu_2c_0 + \lambda_1b_1)q_2 + \right. \\ & \left. + (\lambda_2\mu_1c_0 + \lambda_2b_1)q_3 \right\} e^{-(\lambda_1 + \mu_1)t} + \\ & + \left\{ \left[ \mu_1\mu_2d_0 + (\mu_1 + \mu_2)c_1 + \frac{1}{\lambda_1 + \mu_1 - \lambda_2 - \mu_2} \right] q_1 + (\lambda_1\mu_2d_0 + \lambda_1c_1)q_2 + \right. \\ & \left. + (\lambda_2\mu_1d_0 + \lambda_2c_1)q_3 \right\} e^{-(\lambda_2 + \mu_2)t}; \end{aligned} \quad (19)$$

$$\begin{aligned} V_2(t) = & (\mu_1\mu_2q_1 + \lambda_1\mu_2q_2 + \lambda_2\mu_1q_3)a_0t + \\ & + \left\{ (\mu_1\mu_2b_0 + \mu_1a_1)q_1 + [\lambda_1\mu_2b_0 + (\lambda_1 + \lambda_2 + \mu_2)a_1]q_2 + \lambda_2\mu_1b_0q_3 \right\} + \\ & + \left\{ (\mu_1\mu_2c_0 + \mu_1b_1)q_1 + \left[ \lambda_1\mu_2c_0 + (\lambda_1 + \lambda_2 + \mu_2)b_1 - \frac{1}{\lambda_1 + \mu_1 - \lambda_2 - \mu_2} \right] q_2 + \right. \\ & \left. + \lambda_2\mu_1c_0q_3 \right\} e^{-(\lambda_1 + \mu_1)t} + \\ & + \left\{ (\mu_1\mu_2d_0 + \mu_1c_1)q_1 + \left[ \lambda_1\mu_2d_0 + (\lambda_1 + \lambda_2 + \mu_2)c_1 + \frac{1}{\lambda_1 + \mu_1 - \lambda_2 - \mu_2} \right] q_2 + \right. \\ & \left. + \lambda_2\mu_1d_0q_3 \right\} e^{-(\lambda_2 + \mu_2)t}; \end{aligned} \quad (20)$$

$$\begin{aligned} V_3(t) = & (\mu_1\mu_2q_1 + \lambda_1\mu_2q_2 + \lambda_2\mu_1q_3)a_0t + \\ & + \left\{ (\mu_1\mu_2b_0 + \mu_2a_1)q_1 + \lambda_1\mu_2b_0q_3 + [\lambda_2\mu_1b_0 + (\lambda_1 + \lambda_2 + \mu_1)a_1]q_3 \right\} + \\ & + \left\{ (\mu_1\mu_2c_0 + \mu_2b_1)q_1 + \lambda_1\mu_2c_0q_2 + \right. \\ & \left. + \left[ \lambda_2\mu_1c_0 + (\lambda_1 + \lambda_2 + \mu_1)b_1 - \frac{1}{\lambda_1 + \mu_1 - \lambda_2 - \mu_2} \right] q_3 \right\} e^{-(\lambda_1 + \mu_1)t} + \\ & + \left\{ (\mu_1\mu_2d_0 + \mu_2c_1)q_1 + \lambda_1\mu_2d_0q_2 + \right. \\ & \left. + \left[ \lambda_2\mu_1d_0 + (\lambda_1 + \lambda_2 + \mu_1)c_1 + \frac{1}{\lambda_1 + \mu_1 - \lambda_2 - \mu_2} \right] q_3 \right\} e^{-(\lambda_2 + \mu_2)t}, \end{aligned} \quad (21)$$

где  $a_0 = a_1 = \frac{1}{(\lambda_1 + \mu_1)(\lambda_2 + \mu_2)}$ ,  $b_0 = -\frac{(\lambda_1 + \mu_1 + \lambda_2 + \mu_2)}{(\lambda_1 + \mu_1)^2(\lambda_2 + \mu_2)^2}$ ,

$$c_0 = -\frac{1}{(\lambda_1 + \mu_1)^2(\lambda_1 + \mu_1 - \lambda_2 - \mu_2)}, \quad d_0 = \frac{1}{(\lambda_2 + \mu_2)^2(\lambda_1 + \mu_1 - \lambda_2 - \mu_2)},$$

$$b_1 = \frac{1}{(\lambda_1 + \mu_1)(\lambda_1 + \mu_1 - \lambda_2 - \mu_2)}, \quad c_1 = -\frac{1}{(\lambda_2 + \mu_2)(\lambda_1 + \mu_1 - \lambda_2 - \mu_2)},$$

$$q_1 = \frac{m_Q - Q_n}{\gamma}; \quad q_2 = -\frac{Q_n}{\gamma}; \quad q_3 = \frac{m_Q}{\gamma}. \quad (22)$$

При достаточно больших  $t$  ( $t \rightarrow \infty$ ) членами при экспонентах в формулах (19)–(21) можно пренебречь. После подстановки параметров из (22) для больших  $t$  ( $t \rightarrow \infty$ ) формулы (19)–(21) после преобразования примут вид

$$\begin{cases} V_1(t) = \left( \frac{\mu_1}{\lambda_1 + \mu_1} \cdot \frac{m_Q}{\gamma} - \frac{\mu_2}{\lambda_2 + \mu_2} \cdot \frac{Q_n}{\gamma} \right) t + \frac{\lambda_1}{(\lambda_1 + \mu_1)^2} \cdot \frac{m_Q}{\gamma} - \frac{\lambda_2}{(\lambda_2 + \mu_2)^2} \cdot \frac{Q_n}{\gamma}, \\ V_2(t) = \left( \frac{\mu_1}{\lambda_1 + \mu_1} \cdot \frac{m_Q}{\gamma} - \frac{\mu_2}{\lambda_2 + \mu_2} \cdot \frac{Q_n}{\gamma} \right) t - \frac{\mu_1}{(\lambda_1 + \mu_1)^2} \cdot \frac{m_Q}{\gamma} - \frac{\lambda_2}{(\lambda_2 + \mu_2)^2} \cdot \frac{Q_n}{\gamma}, \\ V_3(t) = \left( \frac{\mu_1}{\lambda_1 + \mu_1} \cdot \frac{m_Q}{\gamma} - \frac{\mu_2}{\lambda_2 + \mu_2} \cdot \frac{Q_n}{\gamma} \right) t + \frac{\lambda_1}{(\lambda_1 + \mu_1)^2} \cdot \frac{m_Q}{\gamma} + \frac{\mu_2}{(\lambda_2 + \mu_2)^2} \cdot \frac{Q_n}{\gamma}. \end{cases} \quad (23)$$

Из последних равенств (23) следует, что при больших  $t$  ( $t \rightarrow \infty$ ) и скорости питателя  $Q_n$ , близкой к значению  $Q_n^*$ , равному

$$Q_n^* = \frac{\mu_1}{\mu_2} \left( \frac{\lambda_2 + \mu_2}{\lambda_1 + \mu_1} \right) m_Q, \quad (24)$$

т.е. при  $Q_n \rightarrow Q_n^*$  объем груза в бункере, независимо от первоначального состояния, принимает постоянное (стационарное) значение.

Из последнего равенства видно, что при  $t \rightarrow \infty$ , значениях  $Q_n$ , приближающихся к  $Q_n^*$ , средний объем груза в аккумулирующем бункере  $V_c$  приближается к нулю, т.е. при  $Q_n \rightarrow Q_n^*$  ( $t \rightarrow \infty$ )  $V_c \rightarrow 0$ .

Среднее количество груза в бункере, независимо от начального состояния надбункерного и подбункерного конвейеров, согласно формуле полной вероятности [1] определяется по формуле:

$$V_c = P_1 V_1(t) + P_2 V_2(t) + P_3 V_3(t), \quad (25)$$

где  $P_1$  – вероятность того, что надбункерный и подбункерный конвейеры работают одновременно;  $P_2$  – вероятность того, что надбункерный конвейер простаивает, а подбункерный конвейер работает;  $P_3$  – вероятность того, что надбункерный конвейер работает, а подбункерный конвейер простаивает.

Величины  $P_1$ ,  $P_2$ ,  $P_3$  определяются как вероятности состояний системы, состоящей из последовательно независимых надбункерной и подбункерной конвейерных линий.

Согласно [8] имеем

$$P_1 = \frac{\mu_1 \mu_2}{(\lambda_1 + \mu_1)(\lambda_2 + \mu_2)}, \quad P_2 = \frac{\lambda_1 \mu_2}{(\lambda_1 + \mu_1)(\lambda_2 + \mu_2)}, \quad P_3 = \frac{\lambda_2 \mu_1}{(\lambda_1 + \mu_1)(\lambda_2 + \mu_2)}. \quad (26)$$

Подставляя последние равенства (26) в выражение (25), после преобразования получим

$$V_c = \left( \frac{\mu_1}{\lambda_1 + \mu_1} \cdot \frac{m_Q}{\gamma} - \frac{\mu_2}{\lambda_2 + \mu_2} \cdot \frac{Q_n}{\gamma} \right) t + \frac{\lambda_1 \lambda_2}{(\lambda_1 + \mu_1)(\lambda_2 + \mu_2)} \left( \frac{\mu_1}{\lambda_1 + \mu_1} \cdot \frac{m_Q}{\gamma} - \frac{\mu_2}{\lambda_2 + \mu_2} \cdot \frac{Q_n}{\gamma} \right). \quad (27)$$

В равенстве (27), в силу малости произведения  $\lambda_1 \lambda_2$  ( $\lambda_1 \lambda_2 \ll 1$ ), пренебрегаем вторым слагаемым. В результате средний объем груза в бункере определяется по формуле

$$V_c = \frac{1}{\gamma} (\bar{m}_Q - \bar{Q}_n) t. \quad (28)$$

Следовательно, средний объем груза в аккумулирующем бункере прямо пропорционален разности средних производительностей поступающего и разгружаемого грузопотоков и времени работы бункера.

## ИСПОЛЬЗОВАННАЯ ЛИТЕРАТУРА

1. Вентцель Е. С. Теория вероятностей и ее инженерные приложения / Е. С. Вентцель, Л. А. Овчаров. – М.: Высшая школа, 2000. – 480 с.
2. Черкесов Г. Н. Надежность технических систем с временной избыточностью / Г. Н. Черкесов. – М.: Советское радио, 1974. – 296 с.
3. Шахмайстер Л. Г. Вероятностные методы расчета транспортных машин / Л. Г. Шахмайстер, В. Г. Дмитриев. – М.: Машиностроение, 1983. – 256 с.
4. Кирия Р. В. Минимальный объем аккумулирующего бункера / Р. В. Кирия, Д. Д. Брагинец // Геотехническая механика: Межвед. сб. научн. тр. / ИГТМ НАНУ. – Днепропетровск, 2007. – Вып. 69. – С. 43–50.
5. Свешников А. А. Прикладные методы теории случайных функций / А. А. Свешников. – М.: Наука, 1968. – 464 с.

6. Ховард Р. А. Динамическое программирование и марковские процессы / Р. А. Ховард. – М.: Советское радио, 1964. – 192 с.
7. Лаврентьев М. А. Методы теории функций комплексного переменного / М. А. Лаврентьев, Б. В. Шабат. – М.: Наука, 1987. – 688 с.
8. Гнеденко Б. В. Математические методы в теории надежности / Б. В. Гнеденко, Ю. К. Беляев, А. Д. Соловьев. – М.: Наука, 1965. – 524 с.